

# مطالعه تاثیر استفاده از بازتابنده اشعه نزدیک به مادون قرمز و گردآورنده خورشیدی بر گرمایش گلخانه و ممانعت از ورود پرنده‌گان و حشرات

استاد گروه مهندسی مکانیک، دانشگاه حقوق اردبیلی، اردبیل، ایران  
دانشجوی دکتری مهندسی مکانیک، دانشگاه حقوق اردبیلی، اردبیل، ایران

بهروز میرزایی ضیاپور  
امیر هشت رو دی اصل\*

## چکیده

در گلخانه‌های خورشیدی و برای دفع گرمای غیرضروری از روش تهویه طبیعی و بازکردن دریچه‌های گلخانه استفاده می‌شود. چنین فرآیندی باعث ورود آفات به گلخانه و خسارت‌های جانی می‌گردد. در کار پیش رو نوع جدیدی از گلخانه‌های خورشیدی شیوه‌سازی و ارایه شده است که با استفاده از پوششی مخصوص بروی سقف گلخانه، از ورود اشعه نزدیک مادون قرمز به داخل گلخانه جلوگیری می‌کند تا مانع گرم شدن غیرضروری گلخانه در فصول گرم سال شده و در نتیجه نیاز به بازکردن دریچه‌ها و مشکل ورود آفات مرتکع شود. در این کار پوشش مورد استفاده بروی سقف استوانه‌ای گلخانه طیف نزدیک مادون قرمزا نور خورشید را بازمی‌تاباند و انرژی بازتابی در گردآورنده واقع در خط کانونی سقف متتمرکز می‌شود. گردآورنده کانونی حاوی آب و ماده تغییرفاز دهنده است که ذخیره حرارت به میزان بالا و در فضایی کم را ممکن می‌سازد. مقادیر بینه برای کمترین شعاع گردآورنده در مقابل بیشترین حجم ماده تغییرفاز دهنده و با توجه به انرژی دریافتی در یک روز تابستانی محاسبه شده است. مطالعات عددی بروی این طرح در سه هنده سه صورت گرفته و نتایج به صورت کانتورهای دما و سرعت ارایه شده است. همچنین مقدار انرژی ذخیره شده در هرسه هنده و در چهار فصل سال محاسبه و با انرژی لازم برای گرمایش گلخانه مقایسه شده است. نتایج نشان می‌دهد که با استفاده از این سامانه انرژی ذخیره شده تکافوی گرمای لازم برای گرمایش گلخانه را در طول سال می‌کند در عین حال که راهکاری برای مقابله با نفوذ آفات بهشمار می‌آید.

**واژه‌های کلیدی:** گلخانه‌های خورشیدی، بازتابنده اشعه نزدیک زیر قرمز NIR، مواد تغییرفاز دهنده PCM، گردآورنده حرارتی، گرمایش گلخانه.

## Studying Effects of Using NIR Reflector and Heat Collector in the Solar Greenhouses on the Greenhouse Heating and Blocking Pests Way into Greenhouse

B. MirzayiZiapour  
A. HashtroudiAsl

Department of Mechanical Engineering, University of mohagheghardabili, Ardabil, Iran  
Department of Mechanical Engineering, University of mohagheghardabili, Ardabil, Iran

### Abstract

In the solar greenhouses, natural ventilation is used to repel the unnecessary heat by opening the windows. This regular action is led to enter diverse of pest and insects to the greenhouse and consequence production damages. In the presented work, a novel case of solar greenhouses is simulated and represented. This design uses a special cover on the roof that reflects NIR and avoids greenhouse warming too much, in the hot seasons. With no more heat, the ventilation needs get less and the pests damages will be prevented. In this work, NIR reflected by the cover placed on the circular roof of the greenhouse is focused in the collector equipped in the focal line of the roof. The collector contains water and PCM that makes it possible to store huge amount of energy in a limited space. Considering energy received in a typical summer day, the optimum quantities for minimum collector radius versus maximum PCM volume is computed. Numerical investigation on this design is performed in three different geometries and results are reported as temperature contours and stream functions. In addition, energy stored in every three cases is calculated and compared with greenhouse heating load. The results shows that annual greenhouse heating load can be provided by energy stored in this system and prevents the bothersome insects at the same time.

**Keywords:** Solar Greenhouses, NIR Reflectors, Phase Change Materials (PCM), Heat Collector, Greenhouse Heating.

از پوشش بر روی سقف شفاف گلخانه‌ها امکان پذیر است [۱]. در محدوده این موضوع چندین پوشش که منجر به اصلاحات طیفی نور خورشید می‌شوند، در مطالعات مختلفی گزارش شده‌اند [۲]. در این کار تأکید اصلی بر مواد مسدودکننده اشعه نزدیک مادون قرمز خواهد بود. اشعه نزدیک مادون قرمز به صورت جزئی توسط گیاهان جذب می‌شود و جذب عمدۀ آن توسط اجزای ساختاری گلخانه اتفاق می‌افتد. لذا این اشعه باعث افزایش دمای گلخانه می‌شود. گرمایش گلخانه با انرژی نور خورشید در طول ماه‌های سرد مطلوب ولی در طول ماه‌های گرم سال عاملی نامطلوب است چرا که باعث می‌شود دمای هوای داخل گلخانه بیش از حد گرم و منجر به کاهش تولید محصول شود. از طرفی با گرم شدن بیش از حد فضای گلخانه، تهویه هوا به روش‌های معمول مانند باز کردن دریچه‌های هوا صورت می‌گیرد. چنین روندی در فصول گرم

### ۱- مقدمه

کل تابش خورشیدی که وارد فضای داخلی گلخانه می‌شود به سه دسته قابل تقسیم است: اشعه فرابنفش<sup>۱</sup>، اشعه فعال برای فوتوسنتز<sup>۲</sup> و اشعه نزدیک مادون قرمز. از طیف‌های مطرح شده تنها طیف فعال برای فوتوسنتز توسط گیاهان گلخانه جذب می‌شود. پس می‌توان با اعمال نوعی از اصلاحات طیفی بر روی نور خورشید فقط به چنین گستره‌ای از انرژی کلی خورشیدی اجازه ورود به فضای گلخانه را داد و از ورود طیف‌های دیگر غیرموقت جلوگیری کرد. این هدف با اعمال نوع خاصی

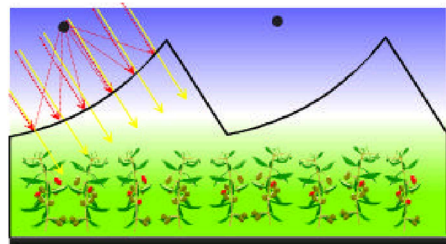
<sup>۱</sup>Ultra Violet, UV

<sup>۲</sup>Photosynthesis Active Radiation, PAR

می‌توان انرژی را برای مدت‌های طولانی‌تر ذخیره نمود. در کارهای علمی صورت گرفته و بر اساس مطالعات نظری و تجربی، روش‌های بسیاری برای ارتقای کارایی انتقال گرما از طریق اشباع سازی فلزات متخلخل با مواد تغییرفاز دهنده ارایه شده‌اند. کار شینا و ایناگاکی<sup>۱</sup> [۷]. در این زمرة است. مطالعات عدیده‌ای نیز در مورد کپسول‌های حاوی ماده تغییرفازده‌نده انجام شده‌اند. در این طیف از مطالعات که به صورت عملی نیز صورت گرفته‌اند، مواد تغییرفازده‌نده داخل کپسول‌هایی تزریق و به همین صورت استفاده می‌شوند. جنس این کپسول‌ها فلزی یا پلاستیکی است [۸]. لین [۹ و ۱۰]. بالغ بر ۲۰۰ نوع ماده ذخیره‌ساز گرما از طریق تغییر فاز را شناسایی کرد که در دمای ۱۰ الی ۹۰ درجه سلسیوس ذوب می‌شوند و برای ذخیره انرژی مورد استفاده قرار می‌گیرند. ایتونی و همکاران [۱۱]. نیز به صورت تجربی هر دو عملکرد ذوب و انجماد برای واکس پارافین را که در پوسته‌های کروی محبوب بودند، مطالعه نمودند. در این مطالعه سیال عامل هوا درنظر گرفته شده بود.

در کار پیش رو گلخانه به همراه پوشش دایروی و مجهر به بازتابنده اشعه نزدیک مادون قرمز به همراه گرداورنده حرارتی واقع در محور کانونی در نظر گرفته شد. برای کاهش تلفات از گرداورنده، پوششی بیضوی شکل در فضای بالای بازتابنده و گرداورنده قرار گرفت و کل سیستم در چهار فصل سال مورد تحلیل عددی واقع شد. برای هر یک از فصول، داده‌های مربوط به مقدار تابش در یک روز از آن فصل از کار گریجیانه و همکاران [۱۲]. استخراج شده‌اند. مقدار گرمای قابل ذخیره در گرداورنده و بار گرمایشی لازم برای نگاهداشت دمای گلخانه در حدی معین به روش تحلیلی مورد محاسبه قرار گرفته و تحلیل سرعت و دمای داخل گلخانه به طریقه عددی بررسی شده و نتایج به صورت کانتورهای دما و خطوط جریان در بازه زمانی معینی از روز برای هر چهار فصل سال ارایه و تحلیل شده‌اند. در شبیه‌سازی سیستم مقداری واکس پارافین به عنوان ماده تغییرفازده‌نده درون لوله گرداورنده حرارتی استفاده شد. برای تعیین مقدار بهینه قطر لوله و نیز ماده تغییرفازده‌نده مورد استفاده داخل لوله حاوی آب، موازنۀ انرژی بین گرمای ورودی از طریق انرژی خورشیدی و مقدار ذخیره‌شده توسط سیستم لوله – ماده تغییرفازده‌نده انجام و نتایج حاصل ارایه شده است. این محاسبات برای هر چهار فصل صورت گرفته و مقدار مرتبط با فصل تابستان به عنوان مینا لحاظ گردیده است. برای بررسی تاثیر تعداد گرداورنده‌های مورد استفاده و نیز ابعاد گلخانه‌های مورد بررسی بر روی میزان تلفات، مقدار بار گرمایشی و نیز حرارت ذخیره شده قبل دسترسی، سه نوع هندسه با تعداد گرداورنده‌های یک، دو و سه عدد، شبیه‌سازی شده و تمامی بررسی‌های پیش گفته بر روی هر سه و در هر چهار روز فصلی به تفصیل انجام گرفت و نتایج در نمودارهای مرتبط ارایه شد. در قسمت پایانی تاثیر تغییرات در جنس دیوارها و همچنین ضریب جابجایی طبیعی داخل گلخانه بر روی میزان تلفات و بار گرمایشی گلخانه در هر سه هندسه مورد بحث، مطالعه شده و از این رهگذر شرایط ویژه‌ای به دست آمده است که در آن می‌توان با این

سال باعث می‌شود حشرات آفتزا وارد فضای گلخانه شده و تولید محصولات باکیفیت با مشکل مواجه گردد [۱]. استفاده از پوشش‌های پیش‌گفته می‌تواند باعث کاهش دمای فضای داخلی گلخانه شود و باز گرمایی ناشی از تابش دوباره از سطوح گرم داخل گلخانه را نیز کم کند. به این طریق ظرفیت خنک کاری گلخانه هم کاهش می‌یابد و از ورود حشرات مزاحم نیز پیش‌گیری می‌گردد. اشعه نزدیک مادون قرمز منعکس شده را می‌توان با یک متمرکز‌ساز خورشیدی کنترل کرد. یک پوشش گلخانه‌ای مجهز به منعکس‌کننده اشعه نزدیک مادون قرمز (با گذردهی بالا برای اشعه فعال برای فوتوسنتر) به همراه یک سیستم خنک کاری خورشیدی توسط سانوولد و همکاران [۲-۶] توسعه داده و مطالعه شد. مطالعات ایشان نشان داد که دو ماده فیلمی شکل با پوشش‌های چندلایه‌ای، خصوصیات عبوردهی و انعکاسی مفیدی دارند. جنس یکی از این دو ماده از فلز و دیگری دی‌الکتریک است. فیلم چندلایه‌ی فلزی برای تمام بازه طیفی اشعه نزدیک مادون قرمز nm (۲۵۰ - ۹۰۰) انعکاس خوبی نشان داده است و در حدود ۵۰ درصد از شار انرژی خورشیدی را در طیف اشعه نزدیک مادون قرمز باز می‌تاباند [۲]. طبق مطالعات ایشان اگر سقف گلخانه به صورت سهموی و یا دایروی ساخته شود و پوشش بازتابنده اشعه نزدیک مادون قرمز بر روی آن نصب گردد، می‌توان نور بازتابنده کانوئی سطح منحنی متمرکز و توسط انواع مختلف گرداورنده دریافت کرد. در مورد شکل بازتابنده نیز، استفاده از بازتابنده دایروی در مقابل شکل بیضوی ترجیح داده می‌شود چرا که در بازتابنده‌های دایروی مکانیزم دنبال‌کننده نور خورشید در طول روز تنها برای گرداورنده موردنیاز است و می‌توان بازتابنده را در جای خود ثابت نگاه داشت. در حالی که در بازتابنده‌های بیضوی برای هردوی بازتابنده و گرداورنده نیاز به مکانیزم‌های دنبال‌کننده وجود دارد [۲]. در شکل ۱ مساله‌ی مطرح شده یعنی گلخانه‌ای با یک بازتابنده استوانه‌ای مجهز به مسدود‌کننده اشعه نزدیک مادون قرمز و گرداورنده در خط کانونی نشان داده شده است [۱].



شکل ۱- شماتیک از گلخانه با مسدود کننده اشعه نزدیک مادون قرمز، با آینه‌ای استوانه‌ای و گرداورنده در خط کانونی [۱]

از گرداورنده نصب شده در نقطه کانونی می‌توان برای ذخیره انرژی موردنیاز در زمان‌های سرد روز و کل طول شب استفاده نمود. در چنین گرداورنده‌های حرارتی و در داخل لوله گرداورنده، سیالی مانند آب، به عنوان ذخیره‌ساز به کار می‌رود. از آن جایی که میزان حرارت ورودی می‌تواند منجر به دمایی بسیار بالا شود و پدیده‌هایی مانند جوشش و تبخیر را در لوله به وجود آورد، برای ممانعت از این روند، مواد دهنده برای ذخیره بهتر انرژی به کار می‌رودند. با استفاده از این مواد می‌توان کنترل دمایی خوبی در محدوده‌ی دمای ذوب این مواد در داخل لوله اعمال کرد. همچنین با استفاده از مواد تغییرفازده‌نده

<sup>۱</sup> Shiina & Inagaki

جدول ۱- خصوصیات مواد و مصالح مورد استفاده در کار بیش رو:  
(الف) مواد معمول، (ب) واکس پارافین به عنوان ماده تغییرفازدهنده

[۱۴]

الف

$\mu \text{ (kg/ms)} \times 10^5$	مواد	$\rho \text{ (kg/m}^3)$	$c_p \text{ (J/kgK)}$	$k \text{ (W/mK)}$	$\mu \text{ (kg/ms)} \times 10^5$
۱/۷۸۹۴	هوای گاز	۱۰۰/۶۴۳	۱۰۰/۴۲	۱/۷۸۹۴	
۱/۰۰۳	آب	۹۹۸/۲	۴۱۸۲	۰/۶	۱/۰۰۳
-	عایق	۳۵۰	۱۵۹۰	۰/۰۴	-
-	شیشه	۲۵۰۰	۷۵۰	۱	-
-	خاک	۱۸۰۰	۱۲۰۰	۲	-

ب

مواد	$\rho$	$c_p$	$K$	$h_l \text{ (J/kg)}$	$T_{melt} \text{ (}^{\circ}\text{C)}$
واکس پارافین	۸۶۰	۲۵۰۰	۰/۲۷	۱۸۸۰۰	۵۳

در تعیین مقدار بهینه قطر لوله در مقایسه با مقدار حجم ماده تغییرفازدهنده داخل لوله گردآورنده، موازنۀ انرژی طبق روابط (۱) و (۲) است.

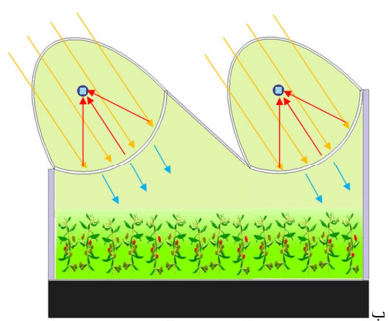
$$Q_{in}=Q_{store} \quad (1)$$

$$(0.5 G \times A_{in,pipe} \times t) = \rho_w V_w c_{p_w} (T_{melt} - T_i) + \rho_{pa} V_{pa} c_{p_{pa}} (T_{melt} - T_i) + \rho_{pa} V_{pa} h_{L_{pa}} \quad (2)$$

مساحت سطح ورودی انرژی طبق رابطه (۳) می باشد:

$$A_{in,pipe} = \frac{11\pi}{18} r_l \quad (3)$$

که ضریب ثابت در طرف سمت راست معادله، نشان گر زاویه ۱۱۰ درجه‌ای برای کمان دایروی سقف گلخانه است. همچنین ضریب ۰/۵ در معادله ۲ سهم انرژی بازتابی از کل انرژی نور خورشید است [۲].

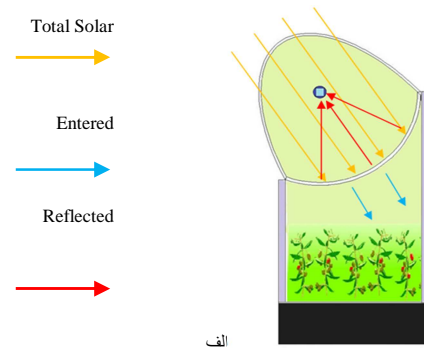


## ۲- هندسه و روابط موجود

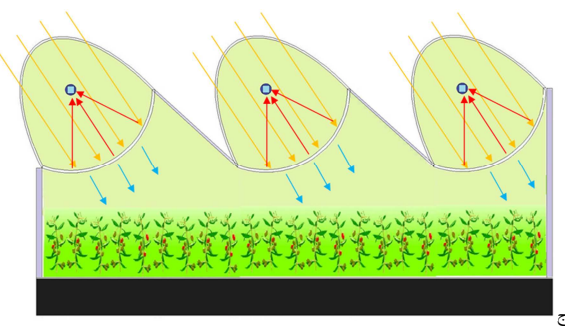
سه مدل هندسی که برای شبیه‌سازی یک سیستم گلخانه‌ای مورد استفاده قرار گرفته در شکل ۲ آمده است. در قسمت زیرین گلخانه، خاک زراعی شبیه‌سازی شده است. دیواره‌های گلخانه با ضخامت معینی از جنس عایق سیمانی ساخته شده‌اند. سقف گلخانه شیشه‌ای و به صورت کمانی دایروی لحظ شده است و پوشش بازتابنده اشعه نزدیک مادون قرمز بر روی آن نصب شده که باعث می‌گردد کسر قابل توجهی از انرژی خورشیدی بازتاب شود. در محور کانونی لوله‌ای با قطر معین قرار داده و درون آن مواد تغییرفازدهنده شبیه‌سازی شده است. قطر لوله و نیز مقدار ماده تغییرفازدهنده با بهینه‌سازی ابعاد لوله در مقایسه با مقدار این ماده تعیین گشته است. فضای بالای بازتابنده همراه با لوله گردآورنده با پوشش شیشه‌ای دیگری به شکل بیضی پوشانده شده که فضای بسته‌ای جهت کاستن تلفات از لوله اطراف گردآورنده ایجاد می‌کند.

در داخل سیستم، هوای موجود تحت اثر شرایط حرارتی به طریق جابجایی طبیعی گرم خواهد شد. لوله گردآورنده، شامل آب و ماده تغییرفازدهنده از قسمت زیرین گلخانه متناظر با سطح بازتابنده، تحت انرژی حاصل از بازتاب کسر اشعه نزدیک مادون قرمز از انرژی خورشیدی گرم می‌شود. هوای داخل محفظه بالای پوشش نیز تحت اثر دفع حرارت جابجایی طبیعی از قسمت بالای لوله گردآورنده گرمتر خواهد شد. گف زمین گلخانه (قسمت رویی خاک) با استفاده از گرمای ذخیره شده در گردآورنده در دمای ثابت ۲۲ درجه سلسیوس (مناسب برای گرمایش قسمت‌های ریشه گیاه) نگاه داشته‌می‌شود [۱۳].

سطح خارجی در معرض شرایط هوای بیرونی قرار دارد. با توجه به منبع [۱۴] ضریب جابجایی میانگین هوای بیرون در طول روز ۱۵ و برای ساعات شبانه ۲۵ وات بر مترمربع کلوین لحظه شده و خصوصیات ترمودینامیکی مواد و مصالح به کار رفته طبق جدول ۱ اعمال شده است. برای توزیع دمایی هوای بیرون داده‌های تجربی [۱۲] و برای فضای داخلی گلخانه معادلات جابجایی طبیعی طبق منابع [۱۵ و ۱۶] استفاده شده است.



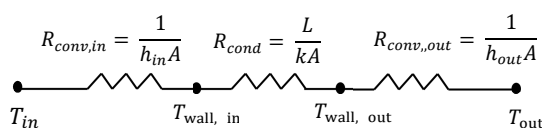
الف



شکل ۲- طرحواره گلخانه‌های شبیه‌سازی شده در کار حاضر با بازتابنده اشعه نزدیک مادون قرمز و لوله گردآورنده در خط کاتونی؛ حاوی آب و ماده تغییرفازدهنده

(الف) هندسه تک گردآورنده، (ب) هندسه دو گردآورنده، (ج) هندسه سه گردآورنده

روزهای تابستانی، در طول روز نیز به علت این‌که در برخی ساعت‌های هوای بیرون در دمایی پایین‌تر از دمای مبنای گلخانه است، نیاز به گرمایش گلخانه همچنان وجود خواهد داشت. در روزهای منتخب برای هر چهار فصل که در این کار مورد استفاده قرار گرفت، بار گرمایشی کل شامل هر دو بخش روزانه و شبانه و برای هر سه هندسه مذکور محاسبه شده و نیاز سیستم به گرمایی لازم برای برقراری دمای داخل گلخانه در مقدار معین ۱۹ درجه سلسیوس [۱۳] در طول شبانه روز به دست آمد. در دفع حرارت از دیواره‌های گلخانه سه مقاومت گرمایی طبق شکل ۴ در نظر گرفته شد؛ مقاومت مرتبط با انتقال حرارت جابجایی طبیعی در داخل گلخانه بعلاوه انتقال گرمای رسانشی از دیواره‌های عایق کاری شده و هم چنین انتقال گرمای جابجایی اجباری در هوای بیرون؛ که میانگین ضریب جابجایی هوای بیرون در ساعت روز و شب، متفاوت از هم لحاظ گشت. برای داده‌های تجزیی در دسترس، میانگین دمای هوای بیرون مرتبط با هر فصل در نظر گرفته شد [۱۲]. البته مقاومت انتقال گرمای تابشی نیز بین دیواره‌های گلخانه و فضای بیرون برقرار بود که به صورت موازی با مقاومت جابجایی هوای بیرون قرار می‌گیرد. محاسبات نشان می‌دهد که با توجه به ضریب تابشی پایین دیواره‌های سیمانی، مقاومت تابشی بالا بوده و در حالت موازی با مقاومت جابجایی بیرونی، مقاومت معادل بسیار نزدیک به مقاومت جابجایی است. لذا اثر مقاومت موازی تابشی صرف نظر می‌گردد. محاسبات مرتبط در ادامه خواهد آمد.

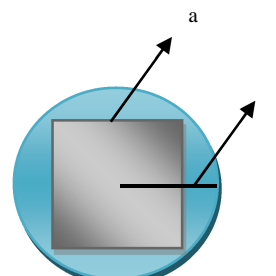


شکل ۴- مقاومت‌های گرمایی در تلفات حرارتی فضای گلخانه

### ۳- روش حل عددی و اعتبارسنجی

در این کار از نرم افزار Fluent نسخه ۶.۳.۲۶ برای شبیه‌سازی فرآیند داخل گلخانه استفاده شده است که برای گسسته‌سازی معادلات از روش حجم کنترل استفاده می‌شود. معادلات به صورت ناپایا در نظر گرفته و حل شده‌اند. هوای درون گلخانه و داخل محفظه به عنوان گاز کامل لحاظ شده و معادلات بر اساس چگالی به یکدیگر کوپل شده‌اند. در شبکه‌بندی اغلب از المان‌های چهارضلعی و به صورت محدودی از

برای آسانی محاسبات، حجم مربوط به واکس پارافین به صورت کپسولی مکعبی شکل با سطح مقطع مربعی به طول ضلع  $a$ ، محیط در داخل لوله به شعاع  $r$  طبق شکل ۳ در نظر گرفته شد.



شکل ۳- نمایی از سطح مقطع لوله گردآورنده حاوی آب و کپسول واکس پارافین به شکل مربعی در میان

لذا برای حجم واکس پارافین و حجم آب داخل لوله طبق روابط (۴) و (۵) خواهیم داشت:

$$V_{pa} = a^2 l \quad (4)$$

$$V_w = (\pi r^2 - a^2) l \quad (5)$$

به این ترتیب که مقدار خالص انرژی ورودی به لوله از کمان ۱۱۰ درجه‌ای پایین آن، در طول ساعت روز و وجود تابش خورشید، با انرژی موردنیاز برای افزایش دمای آب و واکس پارافین تا دمای ذوب پارافین بعلاوه انرژی لازم با ذوب کامل پارافین برابر باشد. این حد بهینه برای این در نظر گرفته شد تا دمای آب درون لوله و واکس پارافین از حد معینی افزایش نیابد و انرژی موجود در دمای معقولی ذخیره گردد. از طرفی دیگر، چنین بهینه‌سازی‌ای باعث می‌شود از افزایش غیرعادی و غیرضروری قطر لوله اجتناب شود؛ با توجه به این که افزایش قطر لوله می‌تواند منجر به پیدایش آثاری مانند اثر سایه بر روی بازتابنده شده و کلایی سیستم را کاهش دهد. در مسایل مرتبط با گلخانه‌های خورشیدی، ساعت شبانه به علت سردرتر بودن نسبت به ساعت روز و عدم دسترسی به گرمای خورشیدی، زمان هدف برای برآورده بار گرمایشی محسوب می‌شوند. با این حال در طول سال و به استثنای

#### ۴- بحث و تحلیل نتایج

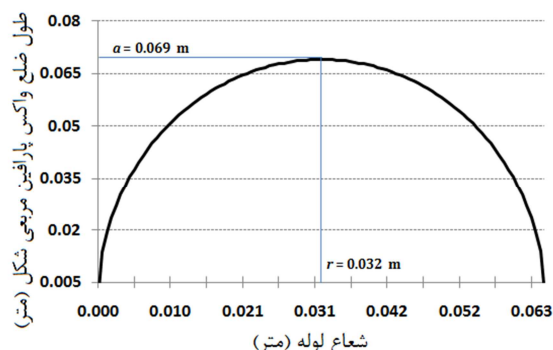
در ابتدای محاسبات بنا بر معادله‌ای که پیش‌تر برای بالانس انرژی (معادلات ۱ و ۲) ارایه شد، محاسبات بهینه‌سازی برای یافتن شعاع لوله در مقایسه با مقدار ماده تغییرفازدهنده استفاده شده در داخل لوله در روز تابستانی صورت گرفت. روز تابستانی به این علت به عنوان مبنای تعیین مقادیر بهینه لحظه می‌شود که بیشترین تابش سال در روزهای تابستانی رخ می‌دهد و ذخیره انرژی در بیشینه حد خود خواهد بود. لذا بعد پیش‌بینی شده برای لوله بزرگ‌ترین ابعاد ممکن بوده و برای دیگر فصول با تابش کمتر نیز با اطمینان قابل استفاده است و نگرانی از وقوع تبخیر در داخل آن وجود نخواهد داشت. در این محاسبات و با در نظر گرفتن شکل ۳ ضریب بی بعد  $k$  به عنوان نسبت شعاع لوله به طول ضلع کپسول واکس پارافین مربعی شکل تعریف شد:

$$k = \frac{r}{a} \quad (6)$$

با جاگذاری مقادیر از جدول ۱ در معادله موازنه انرژی (معادله ۲) معادله‌ای دومتغیره شامل  $r$ ،  $a$  به صورت زیر حاصل شد:

$$27.97 r = 432.78 r^2 + 94.87 a^2 \quad (7)$$

با رسم نمودار این تابع دومتغیره که در شکل ۶ آورده شده است می‌توان دید که محدوده شعاع لوله گردآورنده تا  $0.064\text{ m}$  معنی  $6/4$  سانتی‌متر خواهد بود و همچنین بیشینه مقدار برای طول ضلع مربع ماده تغییرفازدهنده،  $0.032\text{ m}$  سانتی‌متر به ازای  $3/2$  سانتی‌متر شعاع لوله خواهد بود.



شکل ۶- نمودار تغییرات طول ضلع مربع واکس پارافین نسبت به شعاع گردآورنده

از طرفی با توجه به شکل ۳، طبیعتاً قطر مربع حاوی واکس باید کوچک‌تر مساوی قطر لوله باشد. پس:

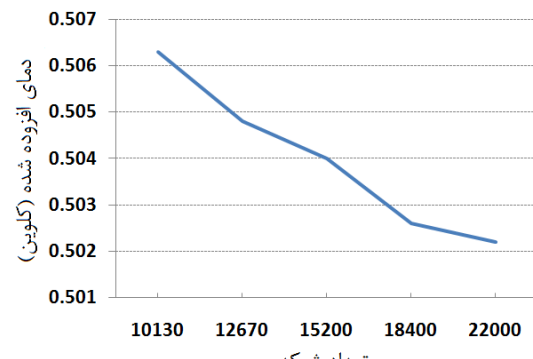
$$a \frac{\sqrt{2}}{2} \leq r \quad (8)$$

و با توجه به تعریف ضریب بی بعد  $k$ ، به دست می‌آید:

$$k \geq \frac{\sqrt{2}}{2} = 0.707 \quad (9)$$

در شکل ۷ نمودار تغییرات ضریب  $k$  نسبت به شعاع لوله آورده شده است و محدوده مقادیر بیشتر از  $0.707$  برای ضریب  $k$  مشخص

المان‌های سه‌ضلعی استفاده شده است. در نواحی دارای گرادیان‌های بالای سرعت و دما مانند مرزها شبکه‌بندی ریز شده است تا دقت محاسبات افزایش یابد. برای بررسی استقلال از شبکه، در هندسه‌ی تک‌گردآورنده، ۵ شبکه‌بندی با تراکم‌های مختلف به شرح:  $10130$ ،  $12670$ ،  $15200$ ،  $18400$  و  $22000$  شبکه در نظر گرفته شد و برای شرایط معینی دمای میانگین داخل لوله به همراه ماده تغییرفازدهنده مورد بررسی قرار گرفت. معیار استقلال از شبکه در این فرآیند دمای افزوده شده به میانگین دمای داخل لوله لحظه گشت. نتایج نشان می‌دهد برای تراکم‌های شبکه‌ای بیشتر از  $18400$  شبکه تغییرات محاسبات به کمتر از  $0.2^\circ\text{C}$  درصد می‌رسد. نمودار این محاسبات در شکل ۵ نشان داده شده است.



شکل ۵- مقادیر دمای افزوده شده به ترکیب لوله و ماده تغییرفازدهنده در شبکه‌های مختلف

بدین ترتیب برای تمامی محاسبات هندسه تک‌گردآورنده از شبکه  $18400$  عددی استفاده شد. برای دو هندسه دیگر توزیع شبکه‌ها متناسب با چنین تعداد شبکه‌ای بسط داده شد. شرایط مرزی برای حل عددی این مساله به صورت جایجایی اجباری در دیوارهای خارجی و بیرون پوشش شیشه‌ای و جایجایی طبیعی در داخل گلخانه در نظر گرفته شده است. دمای سطح خاک دائمات و عمق موجود در زیر زمین و نیز دیوارهای چاله‌ی گلخانه نیز آدیباتیک لحظه شده است.

برای بررسی صحت شبیه‌سازی، کار پیش‌رو با کار وال دیویس و جونز [۱۷] مقایسه شده است. در آن کار نتایج شبیه‌سازی برای جایجایی طبیعی در یک محفظه گزارش شده است. در کار حاضر و با کد نوسلت میانگین در مقادیر مختلف عدد رایلی در جدول ۲ گزارش و با نتایج کار فوق مقایسه شده است. آن‌گونه که دیده می‌شود نتایج کد این کار در تطابقت قابل قبولی با کار مرجع است.

جدول ۲- مقایسه نتایج کار [۱۷] با کار پیش رو در اعداد رایلی مختلف

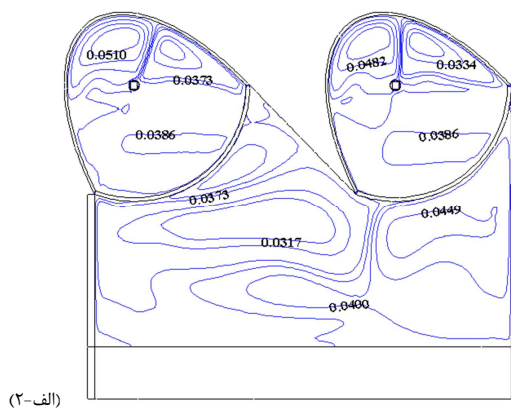
$Ra = 10^6$	$Ra = 10^5$	$Ra = 10^4$	$Ra = 10^3$	$Nu$
۸/۸۰۰	۴/۵۱۹	۲/۲۴۳	۱/۱۱۸	[۱۷]
۹/۰۱۱	۴/۵۸۰	۲/۲۷۹	۱/۱۳۹	کار حاضر

استفاده در واحد طول گرددآورنده برابر با حجم مکعبی به طول واحد و برابر با  $3/25$  لیتر خواهد بود.

با انتخاب مقدار شعاع و حجم پارافین، کل سیستم گلخانه به همراه محفظه و گرددآورنده در چهار روز متفاوت از چهار فصل سال و در سه هندسه مختلف مورد تحلیل عددی واقع شد. مقادیر ورودی در این تحلیل از داده‌های تجربی یکی از ایستگاه‌های سنجش تابش خورشیدی به دست آمداند [۱۲]. توزیع دمایی داخل گلخانه و نیز خطوط جریان هوا داخل محفظه حاوی گرددآورنده برای هر سه هندسه و در یک زمان معین برای یک روز تابستانی در شکل‌های (۹) (الف) و (۹) (ب) ارایه شده‌اند. آن‌گونه که مشخص است، با گرم شدن آب و پارافین داخل لوله، هوای داخل محفظه، از حرارت دفع شده در سمت دیگر لوله، در نقطه‌ای مقابل سطح گیرنده حرارت، به طریقه جابجایی طبیعی گرم می‌شود. وجود محفظه بسته اطراف گرددآورنده باعث می‌گردد هوای داخل آن به عنوان مقاومت حرارتی در مقابل دفع حرارت لوله به هوای بیرون عمل کرده و عملاً اتفاقات حرارتی از لوله گرددآورنده بسیار کم شود [۱۴].

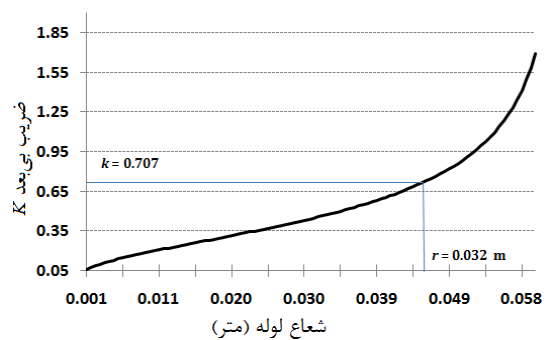
طبق آن‌چه در شکل ۸ دیده می‌شود، در داخل گلخانه چرخش‌های مرتب با جابجایی طبیعی قابل تشخیص است و در داخل محفظه بالایی نیز به دلیل دفع گرما به طریق جابجایی طبیعی مسیر حرکت هوا به وضوح نمایش داده شده‌اند.

در کانتورهای دمایی اثر گرمایشی جابجایی طبیعی را به خصوص در داخل محفظه می‌توان دید. خطوط جریان در این سه هندسه نشان می‌دهد که دفع حرارتی به طریقه جابجایی در محفظه رخ می‌دهد و گرم شدن آرام محفظه بالایی از دفع بیش از حد حرارت از محفظه گلخانه نیز ممانتع می‌کند. در بین چهار روز منتخب از چهار فصل سال که داده‌های آن مورد استفاده قرار گرفته‌است، در روزهای بهاری، پاییزی و زمستانی در ساعتی از روز نیز دمای هوای بیرون پایین‌تر از دمای مبنای گلخانه (در این کار طبق کار [۱۳] ۱۹ درجه سلسیوس در نظر گرفته شده‌است) می‌باشد؛



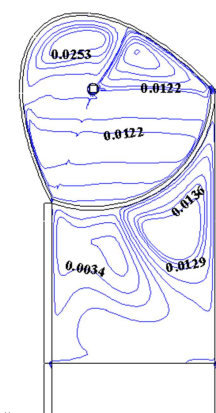
(الف-۲)

شده است. همان‌گونه که در شکل ۷ دیده می‌شود، برای این که مقادیر ضریب  $k$  در محدوده بیشتر از حد  $7/07$  و  $0/045$  متر اختیار گردد، لازم است که برای شعاع لوله مقادیری بیشتر از  $0/045$  و  $6/4$  سانتی‌متر خواهد بود. با توجه به ابعاد گلخانه شبیه‌سازی شده، اندازه‌های بزرگ شعاع لوله علاوه بر مشکلات ساخت و هزینه با مانع دیگری به نام اثر سایه لوله بر روی گرددآورنده مواجه است به‌طوری‌که لوله‌های بزرگ‌تر با ایجاد سایه بروی گرددآورنده گرددآورنده بر فرآیند جذب گرما تاثیر نامطلوب بر جای می‌گذارند.

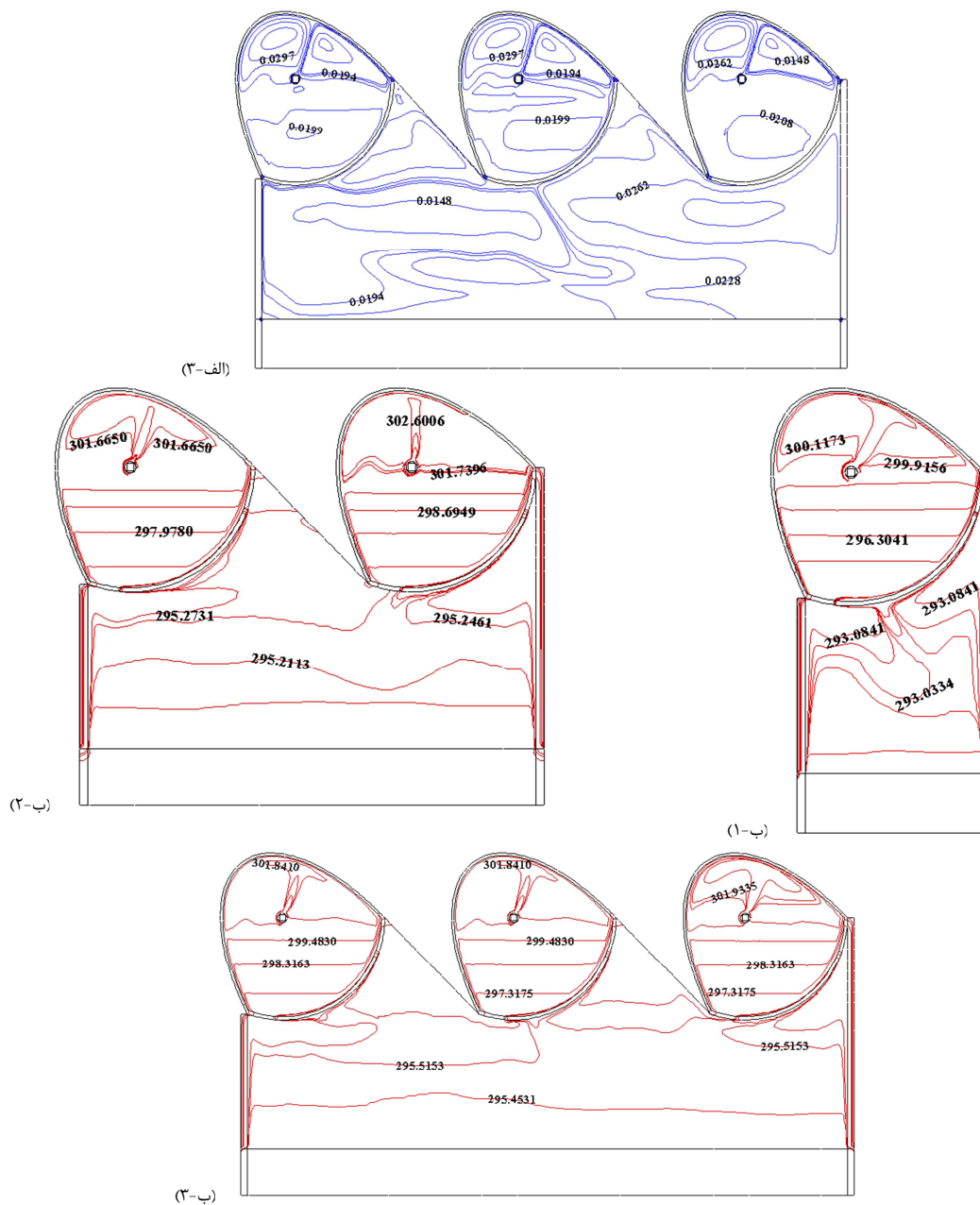


شکل ۷- نمودار تغییرات ضریب  $k$  نسبت به شعاع لوله؛ تعیین محدوده مجاز برای مقادیر شعاع

طبق شکل ۶، با استفاده از مقادیر بیشتر ماده تغییرفازدهنده می‌توان لوله‌های کوچک‌تری را به کار بست. لذا استفاده از لوله‌هایی متناسب و کوچک‌تر با پارافین بیشتر توصیه می‌شود. با درنظر گرفتن این مهم، مقدار شعاع لوله در این محدوده ۵ سانتی‌متر انتخاب شده و با توجه به روابط (۶) و (۷)، مقادیر ضریب  $k$  و  $a$  متناظر به ترتیب برابر خواهد بود با  $0/078$  و  $5/7$  سانتی‌متر لذا حجم واکس پارافین مورد



(الف-۱)



شکل ۸- کانتورهای دما و سرعت گلخانه خورشیدی در ساعت ۱۲ روز

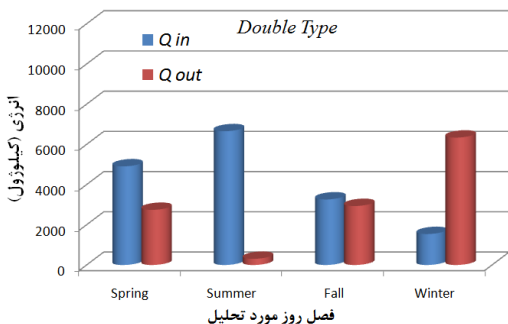
(الف) خطوط جریان بر حسب کیلوگرم بر ثانیه  $\text{kg/s}$  برای هندسه‌های (۱) تک‌گردآورنده، (۲) دو‌گردآورنده، (۳) سه‌گردآورنده

(ب) خطوط دما ثابت بر حسب کلوین  $\text{K}$  برای هندسه‌های (۱) تک‌گردآورنده، (۲) دو‌گردآورنده، (۳) سه‌گردآورنده

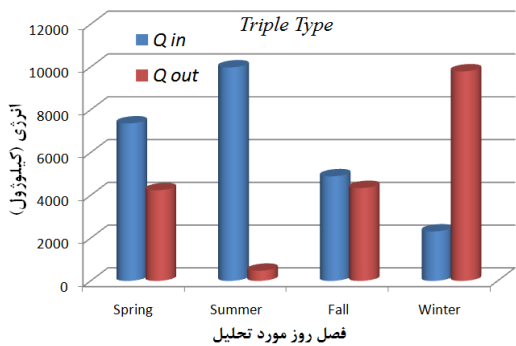
جدول ۳-داده‌های مقاومت حرارتی در

$$h_i = 0.5 \frac{W}{m^2 K} \quad \text{و} \quad h_{out,Day} = 15 \frac{W}{m^2 K}, \quad h_{out,Night} = 25 \frac{W}{m^2 K}, \quad k = 0.04 \frac{W}{mK}, \quad \varepsilon = 0.1, \quad L = 0.1m$$

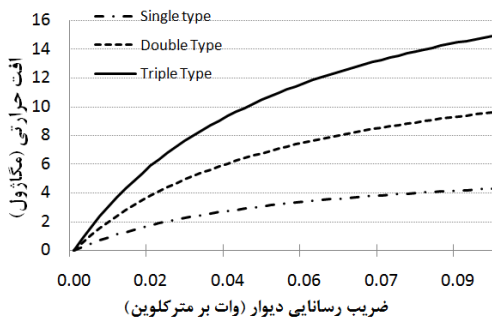
$R_{wall}$ (K/W)	$R_{in}$ (K/W)	$R_{out,Night}$ (K/W)	$R_{out,Day}$ (K/W)	$R_{rad}$ (K/W)	
۰/۰۷۷۰	۰/۱۶۷۵	۰/۰۰۲۷	۰/۰۰۴۸	۰/۱۲۴۸	هندسه تک‌گردآورنده
۰/۰۳۵۹	۰/۰۷۸۲	۰/۰۰۱۲	۰/۰۰۲۰	۰/۰۵۴۷	هندسه دو‌گردآورنده
۰/۰۲۳۵	۰/۰۵۱۰	۰/۰۰۰۸	۰/۰۰۱۳	۰/۰۳۵۰	هندسه سه‌گردآورنده



شکل ۱۰- مقایسه بین انرژی ورودی به گردآورنده با بار حرارتی گلخانه در هندسه دوگردآورنده



شکل ۱۱- مقایسه بین انرژی ورودی به گردآورنده با بار حرارتی گلخانه در هندسه سه‌گردآورنده



شکل ۱۲- تغییرات تلفات حرارتی کل هر سه هندسه نسبت به تغییرات میزان رسانایی گرمایی دیوار در

$$h_i = 0.5 \frac{W}{m^2 K}, h_{out, Day} = 15 \frac{W}{m^2 K}, h_{out, Night} = 25 \frac{W}{m^2 K}, L = 0.1m$$

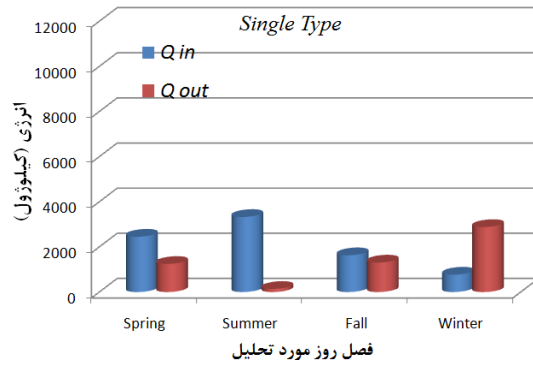
می‌توان برای مصارف جاری دیگری همچون گرمایش کف گلخانه و یا آب گرم سرویس‌های بهداشتی مستقر نیز بهره برد. این گزاره می‌تواند در مطالعات آتی مورد تحلیل و بررسی قرار گیرد. با این حال در قسمت‌های بعدی مطالعه اشاره خواهد شد که با تغییراتی در عایق به کار رفته در دیوارهای گلخانه، مشکل تامین گرمایش زمستانی را نیز می‌توان برطرف نمود.

در انتهای با توجه به مباحث اقتصادی در طراحی و ساخت چنین گلخانه‌ای، تاثیری‌ذییر اتفاقات از نوع عایق به کار رفته در آن مورد تحلیل و بررسی قرار می‌گیرد.

در نموادر شکل ۱۲ تغییرات تلفات حرارتی کل نسبت به تغییرات میزان رسانایی گرمایی دیوار آورده شده است. تمامی متغیرهای پیشین ثابت بوده و تنها تغییرات رسانایی رسانایی بررسی می‌گردد. در شکل

چنین بازه‌های زمانی شناسایی شد و با استفاده از شبیه‌سازی مقاومت‌های گرمایی برای هر سه هندسه‌ی مورد بحث که مقادیر آن‌ها در جدول ۳ آمده‌اند، دفع گرما در این ساعات محاسبه گشت و نتایج مورد بررسی قرار گرفت. همان طور که پیشتر نیز اشاره شد، مقاومت تابشی نیز در دیواره بیرونی گلخانه وجود خواهد داشت که با مقاومت جابجایی بیرونی موازی می‌باشد. مقادیر این مقاومت نیز در جدول ۳ برای هر سه هندسه آمده است. البته محاسبات حالت موازی نشان می‌دهد اثر آن بر تغییر مقدار مقاومت جابجایی بیرونی ناچیز است لذا از اعمال آن در محاسبات صرف نظر شده است.

بدیهی است که منبع حرارتی برای ثبت دمای گلخانه در مقادیر مناسب برای رشد گیاهان، موردنیاز است. از طرفی مقدار حرارتی که در این سیستم قابل ذخیره‌سازی است، در هر چهار روز آنالیز و محاسبه شده است. هر دوی این نتایج یعنی بار گرمایشی گلخانه و گرمایی ذخیره‌شده در آب و ماده تغییر فاز دهنده برای روزهای منتخب و در سه هندسه مختلف در نموادرهای سه شکل ۹، ۱۰، ۱۱ گردآوری و ارایه شده است. داده‌های هر سه شکل نشان می‌دهد که با استفاده از این سیستم ذخیره‌ساز، منبع بسیار خوبی از انرژی را برای تامین بار گرمایشی گلخانه در اختیار قرار می‌دهد.



شکل ۹- مقایسه بین انرژی ورودی به گردآورنده با بار حرارتی گلخانه در هندسه تک‌گردآورنده

همان‌طور که از شکل‌های ۹-۱۱ بر می‌آید، در هر سه هندسه و برای هر سه فصل بهار، تابستان و پاییز، انرژی ذخیره‌شده برای تامین بار گرمایشی گلخانه کافی است. در فصل بهار مقدار قابل توجهی انرژی مازاد در دسترس است. در فصل تابستان برای هر سه هندسه بار گرمایشی بسیار کم است و مازاد انرژی ذخیره‌شده به مقدار زیاد وجود دارد. با این حال نموادرهای ۹-۱۱ نشان می‌دهد در فصل زمستان و برای هر سه هندسه، با اعمال بازنگشتن اشعه نزدیک‌مادون‌قرمز، انرژی ذخیره‌شده برای تامین بار گرمایشی گلخانه ناکافی است. برای برطرف کردن این مشکل استفاده از یک بستر ذخیره‌ساز کارا به نظر می‌رسد. این بستر می‌تواند در مکانی مناسب نسبت به گلخانه قرار داده شده و انرژی مازاد هر فصل را ذخیره نماید و در روزهای سرد سال برای تامین گرمایش گلخانه مورد استفاده قرار گیرد. از این انرژی ذخیره‌شده

گرمای ویژه در فشار ثابت، شار انرژی خورشیدی، W/m <sup>2</sup>	$c_p$
ضریب انتقال گرمای جابجایی، kJ/kg	G
گرمای ویژه ذوب، W/mK	h
ضریب انتقال گرمای رسانایی PCM	$h_l$
نسبت شاعع لوله به طول ضلع مربع ضخامت دیوار، m	k
طول لوله گردآورنده، مکاژول	L
تابش نزدیک مادون قرمز، Radiation نانو متر	1
عدد نوسلت میانگین	MJ
تابش فعال برای فوتونسنتز Photosynthesis	NIR
ماتده تغییرفاز دهنده، Phase Change Material	nm
قرمز گرمایی، J	$Nu$
مقاومت گرمایی، K/W	PAR
شاعع لوله گردآورنده، m	PCM
عدد بی بعد رالی	Q
°C	R
s	R
تابش فرابنفش، Ultra Violet	Ra
m <sup>3</sup>	T
علایم یونانی	UV
ρ چگالی، kg/m <sup>3</sup>	T
Pas لزجت، μ	V
زیر نویس	
اولیه I	
ورودی In	
داخلی در شب in, night	
ورودی به لوله in, pipe	
ذوب Melt	
خروجی، دفعی Out	
بیرونی در شب out, night	
واکس پارافین Pa	
ذخیره شده Store	
آب W	
دیواره گلخانه Wall	

## ۷-مراجع

- [1] Mavrogianopoulos G. N., *Greenhouses*. Athens Stamoulis, Athens, 2001.
- [2] Sonneveld P. J., Swinkels G. L. A. M., Bot G. P. A., and Flamand G., Feasibility study for combining cooling and high grade energy production in a solar greenhouse. *Biosystems Engineering*, Vol. 105, pp. 51–58, 2010.
- [3] Sonneveld P. J., Swinkels G. L. A. M., Campen J., Van Tuijl B. A. J., Janssen H. J. J., and Bot G. P. A., Performance

۱۲ دیده می شود که در هر سه هندسه و در ضرایب رسانایی کمتر از  $0/03$  وات بر مترکلوین وابستگی تلفات حرارتی به تغییرات رسانایی گرمایی شدید بوده ولی در مقادیری بیش از  $0/03$  روند افزایش در تلفات، کندرت می شود.  
نکته قابل توجه این که با رجوع به نمودار زمستانی حرارت ذخیره شده در هر یک از شکل های ۱۱ - ۹ و مقایسه با نمودار اتفاقات در شکل ۱۲ دیده می شود که برای مقادیر ضریب رسانایی کمتر از  $0/006$  وات بر مترکلوین، انرژی ذخیره شده در گردآورنده با میزان تلفات حرارتی زمستانی از گلخانه برابر می شود. یعنی می توان با استفاده از عایق هایی با رسانایی گرمایی در حدود  $0/006$  وات بر مترکلوین در دیواره گلخانه کل نیاز گرمایی آن را تامین نمود. بدین ترتیب در کنار خنک کاری کم هزینه تر و نیز ممانعت از ورود آفات و حشرات، با بکار گیری عایقی مناسب، گرمایش گلخانه در تمام فصول سال بی نیاز از سوخت فسیلی خواهد بود.

## ۵-نتیجه گیری و جمع بندی

در این کار سیستم جدیدی از گلخانه های خورشیدی ارایه شده است که پوشش واقع ببروی سقف مانع از ورود اشعه نزدیک مادون قرمز به درون گلخانه می شود و انرژی آن را بازمی تاباند. بدین طریق گلخانه در فصول گرم سال بیش از حد گرم نمی شود لذا نیازی به باز کردن دریچه های گلخانه نیست و از ورود آفات و حشرات به گلخانه ممانعت می شود. برای گردآورنده واقع در خط کاتونی سقف دایروی، محاسبات بهینه سازی انجام شد و نتایج نشان داد با انتخاب شاعع لوله گردآورنده به اندازه ۵ سانتی متر و مقدار واکس پارافین به عنوان ماده تغییر فاز دهنده در واحد طول لوله به اندازه  $3/25$  لیتر می توان ذخیره سازی انرژی را در کمترین فضای ممکن محقق ساخت.

محاسبات عددی برای سه هندسه مختلف با تعداد گردآورنده های متفاوت انجام گرفت و نتایج به صورت کانتورهای دما و توابع جریان گزارش شد. داده های حاصل، نمایان گر خطوط جریان جابجایی طبیعی در فضای گلخانه است و کانتورهای دما گرم شدن تدریجی آن را نشان می دهد. با محاسبه انرژی ذخیره شده در هر سه هندسه دیده می شود که این انرژی برای هندسه تک گردآورنده در فصول بهار، تابستان، پاییز و زمستان به ترتیب  $2/45$ ،  $2/33$ ،  $1/63$  و  $0/77$  مکاژول می باشد. این مقادیر برای هندسه دو گردآورنده  $4/91$ ،  $6/66$ ،  $4/26$  و  $1/54$  مکاژول و برای هندسه سه گردآورنده  $7/36$ ،  $9/98$ ،  $4/89$  و  $1/54$  مکاژول گزارش شده است. مقایسه این مقادیر با بار گرمایی شی در تمامی فصول و برای هندسه های مختلف نشان می دهد انرژی ذخیره شده برای گرمایش گلخانه در کل سال به جز فصل زمستان کفایت می کند. مطالعات تکمیلی نشان داد با انتخاب عایقی به رسانایی گرمایی  $0/006$  وات بر مترکلوین، سیستم می تواند گرمایش گلخانه در کل سال را بر عهده بگیرد و گلخانه از استفاده از سوخت فسیلی برای گرمایش گلخانه بی نیاز شود در عین حال که راه ورود آفات به داخل گلخانه نیز محدود می گردد.

## ۶-نمادها

مساحت، m<sup>2</sup> A

- results of a solar greenhouse combining electrical and thermal energy production. *Biosystems Engineering*, Vol. 106, pp. 48–57, 2010.
- [4] Sonneveld P. J., Swinkels G. L. A. M., Kempkes F., Campen J., and Bot G. P. A., Greenhouse with an Integrated NIR Filter and a solar cooling system. *Acta Horticultae*, Vol. 719, pp. 123–130, 2006.
- [5] Sonneveld P. J., Holterman H. J., Swinkels G. L. A. M., Van Tuyl B. A. J., and Bot G. P. A., Solar energy delivering greenhouse with an integrated NIR filter. *Acta Horticultae*, Vol. 801, pp. 703–710, 2008.
- [6] Sonneveld P. J., Swinkels G. L. A. M., and Bot G. P. A., Design of a solar greenhouse with energy delivery by the conversion of near infrared radiation — Part 1 optics and PV-cells. *Acta Horticultae*, Vol. 807, pp. 47–53, 2009.
- [7] Shiina Y., and Inagaki T., Study on the efficiency of effective thermal conductivities on melting characteristics of latent heat storage capsules. *Int. J. Heat Mass Transfer*, Vol. 48, pp. 373–383, 2005.
- [8] Mehling H., and Cabeza L. F., *Heat and cold storage with PCM: an up to date introduction into basics and applications, Illustrated Edition*. Springer, 2008.
- [9] Lane G. A., Encapsulation of heat of fusion storage materials. *Proceedings of 2nd southeastern conference on application of solar energy*, Newyork, 1976.
- [10] Lane G. A., Low temperature heat storage with phase change materials. *Int. J. Ambient Energy*, Vol. 1, pp. 155–168, 1980.
- [11] Ettoney H., El-Dessouky H., and Al-Ali A., Heat transfer during phase change of paraffin wax stored in spherical shells. *ASME J. Solar Energy Engineering*, Vol. 127, pp. 357–365, 2005.
- [12] Grigante M., Mottes F., Zardi D., and de Francheschi M., Experimental solar radiation measurements and their effectiveness in setting up a real-sky irradiance model. *Renewable Energy*, Vol. 36, pp. 1–8, 2011.
- [13] Banaeian N., Omid M., and Ahmadi H., Energy and Economic Analysis of Greenhouse Strawberry Production in Tehran Province of Iran. *Energy Conversion and Management*, Vol. 52, pp. 1020 – 1025, 2011.
- [14] Incropera F. P., and DeWitt D. P., *Introduction to Heat Transfer*. John Wiley & Sons, Inc., New York, 2006.
- [15] Elsherbiny S. M., and Ragab E. H., Laminar natural convection in inclined rectangular cavities with a localised heat source. *Alexandria Engineering Journal*, Vol. 52, pp. 249–257, 2013.
- [16] Oliveski R. D. C., Macagnan M. H., and Copetti J. B., Review Entropy generation and natural convection in rectangular cavities. *Applied Thermal Engineering*, Vol. 29, pp. 1417–1425, 2009.
- [17] Val Davis G. D., and Jones I. P., Natural convection in a square cavity: a comparison exercise. *Int. J. Numerical Methods for Fluids*, Vol. 3, PP. 227–248, 1993.